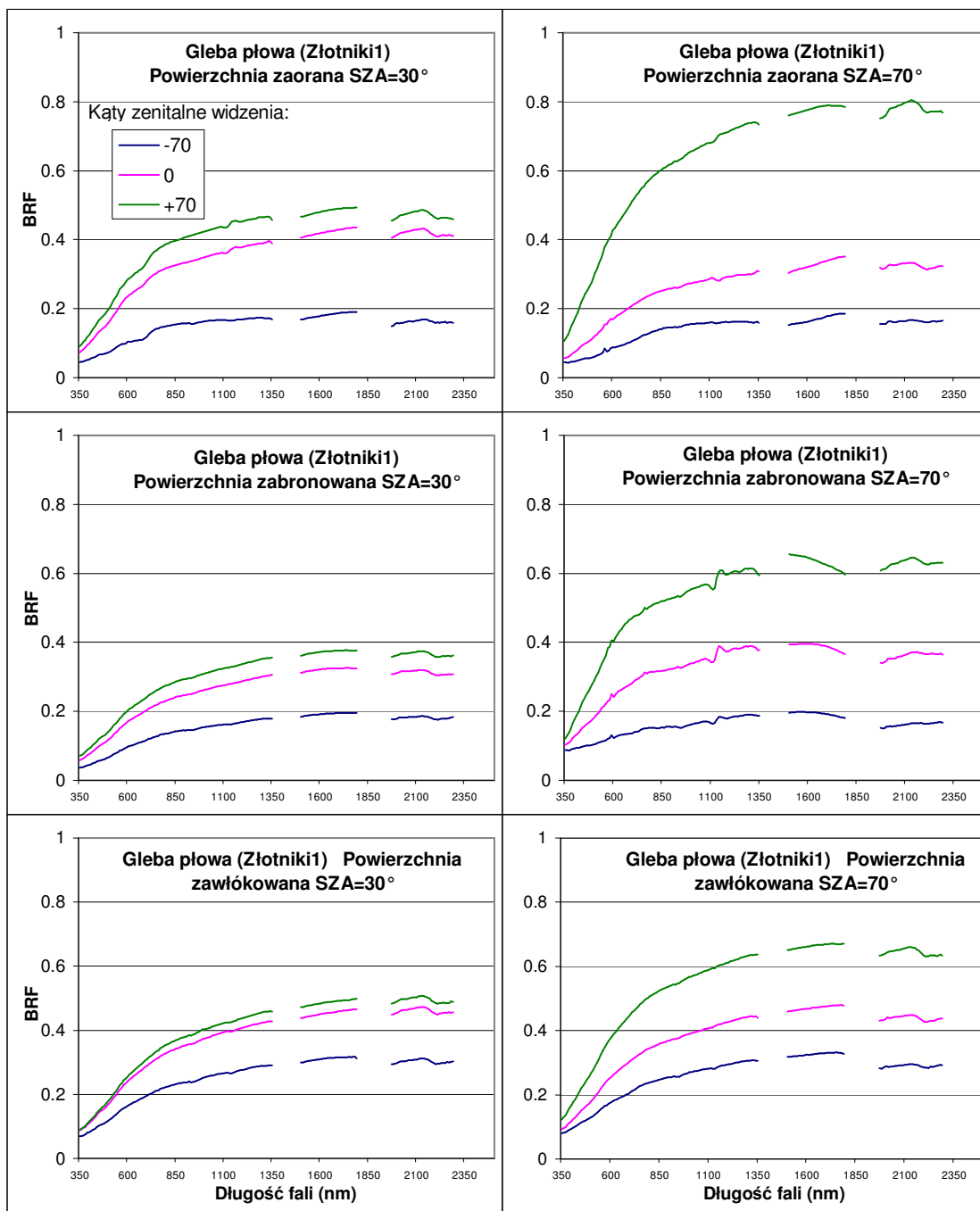


Ryc. 8. Krzywe spektralne trzech powierzchni glebowych poddanych czterem zabiegom uprawowym przy nadirowym kierunku widzenia czujnika oraz przy największych dosłonecznych (-70°) i odsłonecznych ($+70^\circ$) kątach obserwacji w głównej płaszczyźnie słonecznej (GPS) przy najwyższym ($\theta_s = 30^\circ$) i najniższym położeniu Słońca ($\theta_s = 70^\circ$).



Ryc. 8. cd.

